



وزارت علوم تحقیقات و فناوری

دانشگاه بناب

گروه اپتیک و لیزر

پایان نامه‌ی کارشناسی ارشد

برای دریافت درجه‌ی کارشناسی ارشد در رشته‌ی فیزیک اتمی و مولکولی(لیزر)

عنوان پایان نامه

بررسی پایداری لیزرهای سولیتون کاواک

استاد راهنما

دکتر کیوان محمود اقدمی

استاد مشاور

دکتر رضا خردمند

پژوهشگر

زهرا آقامحمدی

مرداد ۱۳۹۰

سپاس خداوندگار حکیم را که با لطف بی‌کران خود، آدمی را زیور عقل آراست.

در آغاز وظیفه خود می‌دانم از زحمات بی‌دریغ استاد راهنمای خود، جناب آقای دکتر کیوان محمود اقدمی، صمیمانه تشکر و قدردانی نمایم که قطعاً بدون راهنمایی‌های ارزنده ایشان، این مجموعه به انجام نمی‌رسید.

از جناب آقای دکتر رضا خردمند که زحمت مشاوره این رساله را تقبل فرمودند و در مخصوصاً در مراحل اولیه‌ی مطالعات به نحو احسن اینجانب را مورد راهنمایی قرار دادند، کمال امتحان را دارم.

از کلیه اساتید و کارکنان محترم دانشگاه بناب که در مدت تحصیل اینجانب زحمات فراوانی را متحمل شدند، کمال تشکر و قدردانی را دارم.

و به خاطر تمام مهربانی‌های همسر فدایکار و بی‌همتايم، امير که در سخت ترین لحظات در کنارم بود ممنونم.

و در پایان بوسه می‌زنم بر دستان خداوندگاران مهر و مهربانی، پدر و مادر عزیزم و بعد از خدا، ستایش می‌کنم وجود مقدس‌شان را و تشکر می‌کنم از خواهر و برادر عزیزم به پاس عاطفه سرشار و گرمای اميد بخش وجودشان، که در سرددترین روزگران بهترین پشتیبان من بودند.

زهره آقامحمدی

شهریور ۱۳۹۰

لیزرهای سالیتون کاواک به عنوان ابزاری کارا و قدرتمند در زمینه‌ی پردازش نوری اطلاعات محسوب می‌شوند. در این ابزارهای لیزری، نور لیزر فقط از نقاط خاصی از صفحه‌ی وسیع کاواک VCSEL ساطع می‌شود. به طور کلی سالیتون‌های کاواک پایدار می‌توانند دو حالت دینامیکی متفاوت داشته باشند: اول سالیتون‌هایی که از لحظه دینامیکی ایستا هستند و می‌توان محل و تعداد آنها را با اعمال پرتو کنترلی نویسنده/پاک کننده به دقت تعیین نمود و دوم سالیتون‌هایی که از لحظه دینامیکی به خودی خود و با سرعتی که به شرایط پارامتری وابسته است، شروع به حرکت می‌نمایند.

در اکثر قریب به اتفاق مطالعاتی که تا سال ۲۰۰۵ صورت گرفته بود، کاواک توسط یک موج همدوس تخت به نام پرتو نگهدارنده مورد تابش قرار می‌گرفته است. در این حالت و با فراهم نمودن شرایط مساعد و دمش محیط غیرخطی درون کاواک در زیر و یا اندکی بالای آستانه‌ی لیزرزایی، کاواک به عنوان تقویت کننده یا مدوله کننده‌ی فضایی پرتو نگهدارنده عمل می‌کرده است. اخیراً با حذف پرتو نگهدارنده ظرفیت لیزرهای سالیتون کاواک از نقطه نظر کاربردی بسیار بهبود یافته است. حذف پرتو نگهدارنده باعث انعطاف پذیری بیشتر سیستم می‌شود و کاواک را از یک مدوله کننده‌ی نور به یک منبع مستقل لیزری مبدل می‌سازد. این وسیله‌ی جدید می‌تواند نقش مهمی در پردازش نوری اطلاعات ایفا نماید.

در کارهای قبلی، وجود سالیتون‌های پایدار در یک محدوده کوچکی از شرایط پارامتری، به صورت تئوری و عملی به اثبات رسیده است. در این پایان نامه به صورت تئوری تلاش می‌شود با جاروب متغیرهای کنترلی و مطالعه‌ی رفتار سیستم در قبال تغییر آنها، نقشه‌ی پایداری سالیتون‌ها در فضای پارامتری بدست آید. در ابتدا تاثیر پارامترهای مختلف در ایجاد ناپایداریهای هویف و مدولاسیون مورد مطالعه قرار می‌گیرد و سپس نقش پارامترهای مختلفی مانند بازنگری حاملین، طول عمر حاملین، تغییر پارامترهای دمش و اشیاع در پایداری و ایجاد سالیتون‌های خودبخود حرکت کننده مورد بررسی قرار گرفته‌اند تا اطلاعات دقیقی برای دستیابی به لیزرهای سالیتونی در دسترس باشد.

در بخش‌های بعدی با انتگرال گیری عددی از معادلات دیفرانسیلی توصیف کننده سیستم با استفاده از روش موسوم به روش گام مجزا که از تبدیل فوریه‌ی سریع استفاده می‌نماید، سالیتون‌ها شیوه سازی شده‌اند و در آخر صحبت محاسبات با استفاده از روش نیوتون – رافسون مورد بررسی قرار گرفتند.

#### کلید واژه‌ها :

سالیتون لیزری کاواک (All Optical Processing)، پردازش تمام نوری (Cavity Soliton Lasers)، سالیتون پایدار (Spontaneously Moving Soliton)، سالیتون‌های خودبخود حرکت کننده (Stable Soliton)، پرتو نگهدارنده (Modulation Instability)، ناپایداری هویف (Holding Beam)، ناپایداری مدولاسیون (instability)، آهنگ واهلش نوری حاملین (carrier life time).

## مقدمه

پرتوهای نوری، امواج تولید شده در آب و سایر پدیده‌های موجی در طبیعت به هنگام انتشار در فضا همواره تمایل به واگرایی دارند، که در فیزیک به این حالت عمومی پهن شدگی، پراش<sup>۱</sup> می‌گویند.

دلیل اصلی وقوع پدیده‌ی پراش به همان دلیلی است که ما عادت نداریم امواجی را که در حین انتشار در فضا می‌باشند، به صورت محلی شده و با حفظ شکل اصلی خود مشاهده کنیم. بنابراین با وجود این که دلیل پراش بسیار بنیادی می‌باشد، مشاهده‌ی پرتوهایی که بتوانند در حین انتشار شکل خود را حفظ نمایند بسیار هیجان انگیز خواهد بود. به اینگونه امواج در حالت عمومی سالیتون<sup>۲</sup> گفته می‌شود که می‌توانند در مایعات [۱] در امواج پلاسمما [۲]، امواج صوتی در هلیم مایع (He<sup>3</sup>)، سیگنانالهای الکتریکی در خطوط تلگراف، ماده چگال، فیزیک ذرات و حتی در نجوم و کیهانشناسی و در زنجیره‌ی DNA نیز وجود داشته باشند.

اولین مشاهده‌ی علمی سالیتون در سیالات است که به سال ۱۸۳۴ برمنی گردد که یک دانشمند اسکاتلندي به نام اسکات راسل<sup>۳</sup> وجود یک موج انتقالی تولید شده توسط قایق در کanal باریک آب بین گلاسکو و ادینبرگ را گزارش کرد. راسل متوجه شد که این موج با یک حرکت روبه جلو بدون تغییر شکل و کاهش در سرعت در طول کanal آب منتشر می‌شود، در حالیکه آب هردو طرف موج ساکن است. در تابستان ۱۹۹۵ بار دیگر در همان مکانی که راسل اولین سالیتون را مشاهده نمود، سالیتونی دیگر توسط قایق و در مقابل آن ایجاد شد(شکل ۱-۱).

امواج سولیتاری<sup>۱</sup>، که عموماً با عنوان سالیتون از آنها یاد می‌شود، پایه و اساس بسیاری از تحقیقات نظری و آزمایشگاهی در زمینه‌های مختلف می‌باشند که از آن جمله می‌توان از هیدرودینامیک، اپتیک غیرخطی، فیزیک پلاسمما و بیولوژی و ... نام برد [۴]-[۱۱].

با وجود اینکه اولین مشاهده‌ی علمی سالیتون‌ها در سال ۱۸۳۴ اتفاق افتاد اما خواص چنین امواجی تا زمانی که مدل‌های ریاضی خاصی که بتوانند ویژگی‌های این امواج را توضیح دهند معرفی شوند، ناشناخته باقی ماند.



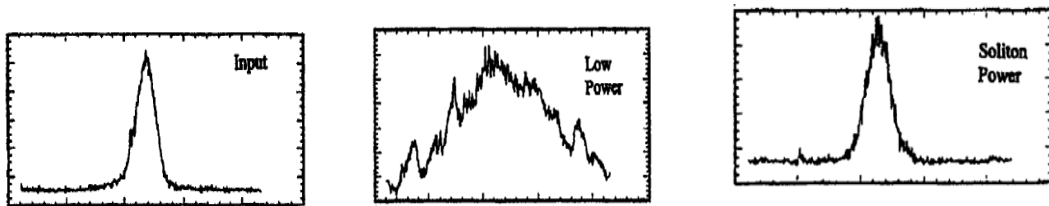
شکل (۱-۱) در تابستان ۱۹۹۵ یک سالیتون (موجی که در جلوی قایق ایجاد شده است). در همان کاتالوگ که اسکات راسل در سال ۱۸۳۴ اولین مشاهده‌ی خود را از یک سالیتون بیان کرده بود، باز سازی شد.

عنوان «سالیتون» که به معنی ذره می‌باشد، هم در سال ۱۹۶۵ بر روی امواج سولیتاری نهاده شد تا خاصیت ذره‌گونه‌ی این امواج را که حتی بعد از برخوردهای پیاپی شکل خود را حفظ می‌کنند، بیان دارد. علاوه بر زمینه‌های مختلف علوم که امواج سولیتاری و یا به عبارت دیگر سالیتون‌ها در آن‌ها قابل مشاهده می‌باشند، اپتیک غیرخطی نیز یکی از زمینه‌هایی است که سالیتون‌ها در بخش‌های مختلف آن نقش بسزایی ایفا می‌کنند.

از نقطه نظر اپتیک غیرخطی، سالیتون‌ها به دو دسته‌ی کلی تقسیم می‌شوند: سالیتون‌های زمانی<sup>۲</sup> و سالیتون‌های فضایی<sup>۳</sup> (این تقسیم‌بندی با توجه به اینکه آیا محدودیت نور در زمان و یا در فضا اتفاق می‌افتد، صورت گرفته است). سالیتون‌های فضایی بیانگر پالس‌های اپتیکی هستند که شکل خود را در حین انتشار حفظ می‌کنند، و سالیتون‌های زمانی آنسته از پرتوهای خود هدایت کننده‌ای می‌باشند که در مقطع عرضی که عمود بر راستای انتشار است محدود و بدون تغییر باقی می‌مانند.

هر دو نوع این سالیتون‌ها از یک تغییر غیرخطی در ضریب شکست یک ماده‌ی اپتیکی ایجاد می‌شوند که از شدت نور منتشر شونده ناشی می‌شود، به این اثر در اپتیک غیر خطی اثر کر اپتیکی<sup>۱</sup> گفته می‌شود.

وابستگی به شدت ضریب شکست باعث وقوع دو پدیده‌ی خود کانوئی (یا خود واگرایی) اپتیکی فضایی<sup>۲</sup> و مدولاسیون فاز زمانی<sup>۳</sup> می‌شود. که این دو اثر غیر خطی، عامل اصلی پدیدآورنده‌ی سالیتون‌های فضایی و زمانی می‌باشد.



شکل ۱-۲) شکل گیری یک سالیتون فضایی در یک موجبر نیمه رسانا در شدت های پایین موج ورودی (شکل سمت چپ) پهن می‌شود (شکل وسط)، اما در شدت های به اندازه‌ی کافی بالا و مناسب شکل اولیه‌ی خود را حفظ می‌نماید (شکل سمت راست) [۶۳].

یک سالیتون فضایی زمانی ایجاد می‌شود که اثر خود کانوئی یک پرتو نوری با پهن شدگی طبیعی در اثر پراش در حال تعادل باشند (شکل ۱-۲). در مقابل، این اثر مدولاسیون فاز سرخود می‌باشد که با پهن شدگی در اثر پخش شدگی رنگی مقابله می‌کند و منجر به شکل گیری سالیتون زمانی می‌شود [۱۲]. در هردو حالت، پالس و یا پرتو از میان محیط عبور می‌کنند در حالی که تغییری در شکل آن‌ها ایجاد نمی‌شود و گفته می‌شود که محلی شده‌اند و یا به دام افتاده‌اند.

تا سال ۱۹۹۰ انواع دیگری از سالیتون‌های اپتیکی کشف شدند که از این میان می‌توان به سالیتون‌های فضایی زمانی (که گلوله‌های نوری<sup>۴</sup> نیز نامیده می‌شوند)، سالیتون‌های برآگ<sup>۵</sup>، سالیتون‌های گردابی<sup>۶</sup>، سالیتون‌های برداری<sup>۷</sup>، سالیتون‌های گستته و سالیتون‌های کاواک<sup>۸</sup> که مورد بحث این پایان نامه می‌باشد اشاره نمود.

سالیتون‌های کاواک ساختارهای عرضی محلی می‌باشند که به صورت لکه‌هایی روشن روی زمینه‌ی تاریک (و یا بالعکس) در صفحه‌ی عرضی میدان الکتریکی در داخل کاواک، که عموماً با سطح وسیع انتخاب می‌شود، هستند که مستقل از هم بوده و بطور جداگانه قابل آدرس‌دهی می‌باشند. این سالیتون‌های نوری در کاواک حاوی مواد غیر خطی نوری عموماً بخاطر رقابت بین پراش و پدیده‌های غیر خطی (از قبیل خود کانوئی) تولید می‌شوند. یک یا چند عدد از آنها را می‌توان در یک کاواک بوجود آورد و تک تک آنها به طور جداگانه قابل آدرس دهی می‌باشند. این سالیتون‌ها خواصی از

- Optical Kerr effect
- Spatial self-focusing (or self-defocusing)
- Temporal self-phase modulation (SPM)
- Light bullets
- Bragg solitons

- Vortex solitons
- Vector solitons
- Cavity solitons

خود نشان می‌دهند که گاه آنها را به ذرات حقیقی وابسته می‌کنند و به آنها اینترسی نسبت می‌دهند. این خواص منحصر به فرد در سالیتون‌های کاواک که اجازه‌ی دستکاری (نوشتن، پاک کردن و ...) آنها به صورت انفرادی توسط یک پرتو کنترلی اعمالی را می‌دهند، باعث شده است که کاندیدای مناسبی برای پردازش موازی اطلاعات نوری، کدگذاری نوری و کاربرد در تکنولوژی اطلاعات محسوب شوند. و به همین سبب موضوع سالیتون‌های کاواک در سال‌های اخیر در کانون توجه بوده است.

### ۱-۱) سالیتون‌های زمانی

به طور کلی حوزه‌ی نور شناخت غیرخطی شامل پدیده‌های شناخته شده‌ای است که شدت میدان‌های الکتریکی و مغناطیسی بالاتر از توان یک، در مورد آنها نقش اساسی بازی می‌کند. اثر Kerr که عبارت از تغییرات توان دوم ضریب شکست نسبت به ولتاژ اعمال شده و در نتیجه نسبت به شدت میدان الکتریکی است، اثری معمولی از اثرات متعدد و غیرخطی است که از مدت‌ها پیش شناخته شده است.

$$n = n_0 + n_2 I$$

بررسی متدائل کلاسیکی انتشار نور (برهم نهی، بازتابش، شکست و مانند آنها)، رابطه‌ای خطی بین میدان نوری الکترومغناطیسی و سیستم پاسخ دهنده‌ی اتمی که محیط را در بر می‌گیرد، فرض می‌کند ولی درست همانگونه که یک نوسانگر مکانیکی (مانند فنری که به آن وزنه‌ای آویخته است) را می‌توان از طریق اعمال نیروهای نسبتاً بزرگ و ادار به پاسخ غیرخطی کرد، به همین ترتیب می‌توانیم پیش‌بینی کنیم که یک باریکه‌ی فوق العاده شدید نوری می‌تواند آثار نوری غیرخطی چشمگیری را پدید آورد. وابستگی  $n$  به فرکانس ( $\omega$ ) نقش مهمی در تولید سالیتون‌های زمانی ایفا می‌کند. این پدیده عامل پهن شدن پالس نوری در عدم حضور اثرات غیرخطی می‌شود و نقشی همانند پراش را ایجاد می‌کند.

## (۱-۱) خلاصه‌ای از انتشار نور در فیبرهای نوری

بازتاب کلی داخلی (پدیده‌ی اصلی که عهده دار هدایت نور در تارهای نوری است)، از قرن نوزدهم شناخته شده است. اگر چه فیبرهای شیشه‌ای بدون روکش در سال ۱۹۲۰ تولید شده بودند. اما حوزه‌ی تارهای نوری تا سال ۱۹۵۰ که استفاده از لایه‌های پوشاننده، منجر به رشد و بهبود ویژگی‌های تار شد، متولد نشده بود.

( $\text{losses} > 1000 \text{dB / km}$ ) تارهای اولیه در مقایسه با نوع جدیدشان تلفات بسیار زیادی داشتند ( $20 \text{dB / km}$  کاهش یافت).

البته در سال ۱۹۷۰ تلفات تارهای سیلیکا به کمتر از  $0.2 \text{dB / km}$  محدود شد، بلکه باعث پیشرفت‌های بیشتر در زمینه‌ی تکنولوژی تولید در سال ۱۹۷۰ منجر به تولید فیبرهایی با تلفات فقط  $1.55 \mu\text{m}$  در طول موج شد. سطح تلفات براساس پراکندگی بنیادی رایلی<sup>۱</sup> محدود می‌شود. در دسترس بودن فیبرهای کم اتلاف سیلیکا، نه تنها باعث انقلابی در زمینه‌ی ارتباطات فیبری شد، بلکه باعث پیشرفت حوزه‌ی جدید فیبرهای نوری غیرخطی شد [۱۳]-[۱۵].

فرایندهای پراکندگی برانگیخته‌ی رامان و بریلئون، در فیبرهای نوری در سال ۱۹۷۳ مورد مطالعه قرار گرفتند و این کار باعث برانگیزش مطالعه‌ی سایر پدیده‌های غیرخطی مانند دوشکستی القا شده‌ی نور<sup>۲</sup>، ترکیب پارامتری<sup>۳</sup> موج<sup>۴</sup> و مدولاسیون فاز سرخود<sup>۴</sup> شد [۱۶].

مهمترین بخش مطالعات در سال ۱۹۷۳ انجام گرفت و این پیشنهاد بیان شد که فیبرهای نوری می‌توانند پالس‌های سالیتون مانند را به عنوان نتیجه‌ای از اثر متقابل مابین اثرات پاشندگی و اثرات غیرخطی فراهم نمایند.

سالیتون‌های نوری در سال ۱۹۸۰ به طور آزمایشگاهی مشاهده شدند که منجر به پیشرفت‌هایی در سال ۱۹۸۰ در تولید و کنترل پالس‌های نوری فوق کوتاه شد.

- Rayleigh-scattering
- Nonlinear birefringence induced of light
- Four - wave mixing
- Self phase modulation

## (۲-۱-۱) پاشندگی رنگی

زمانی که یک موج الکترومغناطیسی با الکترون‌های باند یک دی‌الکتریک برهم کنش می‌کند، محیط پاسخی می‌دهد که در کل به فرکانس  $\omega$  نور بستگی دارد. این مشخصه به عنوان پاشندگی رنگی، که به دلیل وابستگی ضریب شکست به فرکانس بیان می‌شود، شناخته می‌شود.

$$n = n(\omega)$$

ضریب شکست به خوبی توسط رابطه‌ی اسمیلر<sup>۱</sup> تقریب زده می‌شود،

$$n^2(\omega) = 1 + \sum_{j=1}^m \frac{B_j \omega_j^2}{\omega_j^2 - \omega^2}$$

که  $\omega_j$  فرکانس تشدید می‌باشد و  $B_j$  و  $\omega_j$  با تطبیق منحنی‌های پاشندگی بدست آمده از نتایج عملی و آزمایشی، و با معادله‌ی فوق به ازای  $n = 3$  بدست می‌آیند. از نقطه نظر ریاضی، اثر پاشندگی فیبر را می‌توان با بسط ثابت انتشار مد ( $\beta$ ) بر حسب یک سری تیلور حول فرکانس  $\omega_0$  که پالس حول آن متتمرکز شده است به حساب آورد.

$$\beta(\omega) = n(\omega) \frac{\omega}{c} = \beta_0 + \beta_1(\omega - \omega_0) + \frac{1}{2} \beta_2(\omega - \omega_0)^2 + \dots$$

$$\beta_m = \left( \frac{d^m \beta}{d \omega^m} \right)_{\omega=\omega_0} \quad m = 0, 1, 2, \dots$$

پارامترهای  $\beta_1, \beta_2$  بر طبق روابط زیر به ضریب شکست  $n$  و مشتق آن وابسته می‌باشند.

$$\beta_1 = \frac{1}{v_g} = \frac{n_g}{C} = \frac{1}{C} \left( n + \omega \frac{dn}{d\omega} \right)$$

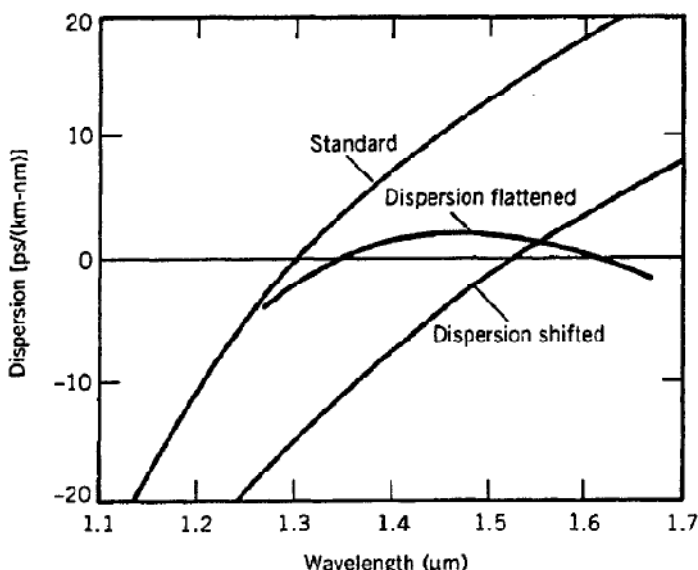
$$\beta_2 = \frac{1}{C} \left( 2 \frac{dn}{dx} + \omega \frac{d^2 n}{d\omega^2} \right)$$

در فیزیک، بسته‌ی موج یک پالس نوری با سرعتی برابر با سرعت گروه حرکت می‌کند. بنابراین پارامتر  $\beta_2$  پاشندگی سرعت گروه ( $GVD$ ) نامیده می‌شود.

پارامتر پاشندگی  $D$  که از رابطه‌ی  $\frac{d\beta_2}{d\lambda}$  بدست می‌آید، به طور عملی مورد استفاده قرار می‌گیرد و با چنین رابطه‌ای دارد:

$$D = \frac{d\beta_1}{d\lambda} = -\frac{2\pi c}{\lambda^2} \beta_2 = -\frac{\lambda}{c} \frac{d^2 n}{d\lambda^2}$$

شکل (۳-۱) وابستگی  $D$  به طول موج را برای سه نوع فیبر نشان می‌دهد. برای فیبرهای استاندارد،  $D$  برای طول موجی در حدود  $1/3$  صفر می‌شود و چنین طول موجی  $\lambda_{zd}$  نامیده می‌شود (طول موج پاشندگی صفر).



شکل (۳-۱) وابستگی پارامتر پاشندگی  $D$  به طول موج برای سه نوع فیبر [۶۳]

اثرات غیرخطی در فیبرهای نوری می‌تواند باعث ایجاد رفتارهای کیفی متفاوت، بسته به علامت  $GVD$ ، شود. برای طول موجهای  $\lambda < \lambda_{zd}$ ، گفته می‌شود که فیبر پاشندگی نرمال از خود نشان دهد و  $\beta_2 > 0$ .

در حالت پاشندگی نرمال، عناصر فرکانس بالای پالس (قسمت آبی) آهسته‌تر از فرکانس‌های پایین‌تر (قسمت قرمز) حرکت می‌کند. درست برخلاف حالتی که در پاشندگی غیرنرمال یعنی  $\beta_2 < 0$  اتفاق می‌افتد(شکل ۱-۴).



شکل ۱-۴) در حالت پاشندگی غیرنرمال، قسمت آبی پالس تندتر از قسمت قرمز آن حرکت می‌کند که باعث پهن شدن پالس می‌شود.

پاشندگی غیرنرمال علاقه‌ی زیادی را برای مطالعه‌ی اثرات غیر خطی ایجاد می‌کند. چراکه در این حوزه هست که فیبرهای نوری می‌توانند با ایجاد تعامل مابین اثرات پاشندگی و اثرات غیر خطی، سالیتونها را ایجاد نمایند.

یک مشخصه‌ی مهم پاشندگی غیر نرمال این است که پالس‌هایی با طول موج‌های متفاوت با سرعت‌های مختلف در طول فیبر حرکت می‌کنند (بدلیل ناهمانگی در سرعت‌های گروه). این مشخصه باعث ایجاد اثر walk-off می‌شود که نقش مهمی در توضیح پدیده‌های غیرخطی شامل دو یا بیش از دو پالس اپتیکی نزدیک به هم دارد.

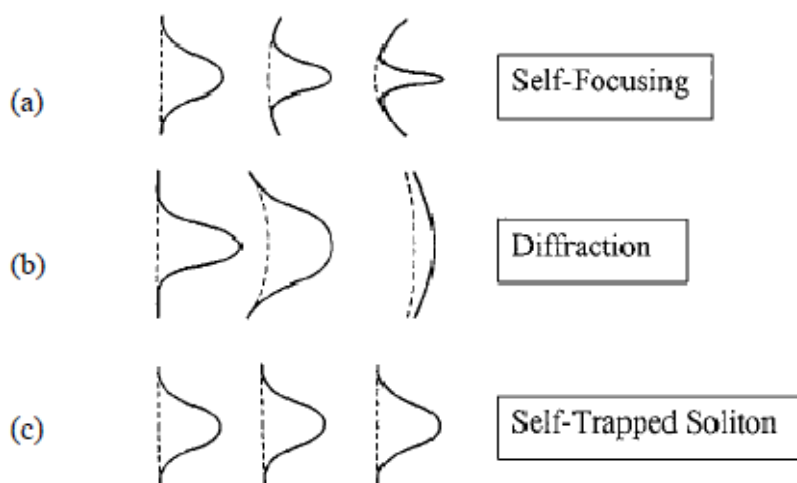
## (۲-۱) سالیتون های نوری فضایی (Optical Spatial Solitons)

سالیتون های نوری فضایی پرتوهای خود به دام افتاده ای<sup>۱</sup> هستند که به دلیل تعادل میان پراش و اثرات غیرخطی به وجود می آیند. آنها انتشار می یابند و با هم برهمنکنش می کنند تا ویژگی هایی ذره گونه از خود به نمایش بگذارند.

بهترین توصیف از ویژگی ذاتی انتشار موج این است که پرتوهایی که در فضا نامحدود هستند به دلیل اثرات پراش تمایل به پهن شدن دارند، در حقیقت این اثرات پراش کاملاً مشابه پهن شدن شدگی پالس زمانی در محیطی است که دارای پراکندگی رنگی می باشد، شکستن این قانون شاید یکی از خصوصیات جذاب اپتیک غیرخطی باشد. برای اینکه چنین اتفاقی بیافتد لازم هست برهمنکنشی قوی میان موج و محیطی که پرتو در آن انتشار می یابد صورت بگیرد، که به عنوان نتیجه ای از این برهمنکنش پرتویی به دام افتاده و یا یک سالیتون فضایی شکل خواهد گرفت [۶۳].

سالیتون های فضایی، پرتوهای اپتیکی هستند که در داخل محیط غیرخطی بدون تأثیر پراش منتشر می شوند و بنابراین قطر پرتو آنها در طول انتشار بدون تغییر باقی می ماند.

مستقیماً می توان گفت که یک سالیتون فضایی، تعادلی دقیق میان پراش و غیرخطیت که خودهمگرایی<sup>۲</sup> یا خود لنزینگ<sup>۳</sup> را القا می کند، به نمایش می گذارد (همانگونه که به طور خلاصه در شکل ۱-۵ دیده می شود).



شکل ۱-۵) نمایش شماتیک پروفایل پرتو فضایی (خطوط تیره) و جبهه ای موج (خطوط نقطه چین). (۱) خودهمگرایی پرتو (۲) پراش معمولی پرتو (۳) انتشار سالیتون. [۶۴]

- Self-trapped
- Self-focusing
- Self-lensing

تمام سالیتون‌ها برای ایجاد شدن نیاز دارند که یک برهمنکنش غیرخطی به اندازه‌ی کافی بزرگ میان آنها و محیطی که در آن منتشر می‌شوند به وجود آید. این برهمنکنش خود نوعاً نیازمند این است که طول پراش در حالت فضایی و یا طول پراکندگی در حالت زمانی، با طول غیر خطیت که خود همگرایی را در محیط ایجاد می‌کند، قابل مقایسه باشد.

در فیبرها، اتلاف پایین باعث ایجاد انتشاری در حد کیلومترها می‌باشد، و به عنوان یک نتیجه، یک غیرخطیت شیشه‌ای بسیار ضعیف برای شکل گیری سالیتون، کافی می‌باشد.

در مورد فضایی، ابعاد نمونه نوعاً به چند سانتی‌متر محدود می‌شود، و بنابراین برای ایجاد سالیتون، چه غیرخطیت و چه توان عملگر، هردو می‌بایست بزرگ باشند. سالیتون‌هایی که در فیبرها هستند، در نتیجه‌ی وجود غیرخطیت کر در شیشه به وجود می‌آیند. در یک محیط کر خالص تغییرات ضریب شکست  $\Delta n$  به صورت خطی با شدت  $I$  رابطه دارد، یعنی  $\Delta n(I) = n_2 I$  که  $n_2$  ثابت کر نامیده می‌شود.

اما در مورد فضایی، سالیتون‌های نوری به دلیل وجود چندین اثر و فرایнд غیر خطی دیگر مشاهده می‌شوند. علاوه بر غیرخطیت کر، اثرات مختلف نورشکستی<sup>۱</sup>، پدیده‌های ترکیب پارامتری<sup>۲</sup> هم، غیرخطیت در کریستال‌های مایع<sup>۳</sup> و پلیمرها، و غیرخطیت اشباع پذیر<sup>۴</sup> برای سیستم‌های دو ترازه نیز توانایی ایجاد سالیتون‌های فضایی را دارند. سال‌ها بر سر این مطلب که آیا می‌توان پرتوهای به دام افتاده در محیط را به عنوان سالیتون شناخت، بحث بود.

از نقطه نظر تاریخی مفهوم سالیتون در ابتدا از متون ریاضی استخراج شده است و به پرتوها یا بسته‌های موج به دام افتاده‌ای اطلاق می‌شده است که از معادلات دیفرانسیل جزئی غیرخطی انتگرال پذیر پیروی می‌کردند. در اپتیک غیرخطی معادله‌ی معروف شروдинگر غیرخطی را می‌توان مثالی از این مورد برشمود. این معادله که انتشار موج را در محیط کر و در  $(1+1)$  بعد نشان می‌دهد، به طور کامل از طریق روش «تئوری پراکندگی معکوس»<sup>۵</sup> قابل حل و انتگرال گیری می‌باشد.

$$i \frac{\partial u}{\partial z} + \frac{1}{2} \left( \frac{\partial^2 u}{\partial x^2} + \frac{\partial^2 u}{\partial y^2} \right) \pm |u|^2 u = 0,$$

معادله‌ی غیرخطی شروdinگر

به دلیل این ویژگی بسیار بخصوص انتگرال پذیری، سالیتون‌ها حتی طی برخوردها هم بدون تغییر باقی می‌مانند. در واقع بسیاری از سیستمهای فیزیکی غیر خطی مهم (شامل انواع دیگر از غیرخطیت)  
 -photorefractive  
 - parametric mixing phenomena  
 - liquid crystals  
 -Saturable  
 - Inverse scattering theory

توسط معادلات تحول غیرخطی انتگرال ناپذیر توصیف می‌شوند. با این وجود، در این مورد اخیر نیز، جواب‌های به دام افتاده پدیدار شدند و مدل مهمی را به نمایش گذاشتند و خواصی را در خود نهفته داشتند که سالیتون‌ها را به ذرات واقعی نسبت می‌داد.

در ابتدا چنین موجودات به دام افتاده‌ای در سیستم‌های غیر خطی به عنوان «امواج سولیتاری» شناخته می‌شدند. در کل سالیتون‌ها و امواج سولیتاری چند مشخصه‌ی برخورده و برهمنکش ویژه دارند که با یکدیگر متفاوت می‌باشد.

سالیتون‌ها در حین برخورد با یکدیگر جفت نمی‌شوند، و تعداد سالیتون‌ها ثابت باقی می‌ماند. اما این مطلب در مورد امواج سالیتوری صادق نمی‌باشد. با این وجود امواج سالیتوری مانند سالیتون‌ها همچنان خواص ذره گونه از خود نشان می‌دهند. به عنوان یک نتیجه، در مقالات امروزی این تمایز مورد توجه نیست و تمام پرتوهای به دام افتاده به طور بی قاعده‌ای سالیتون نامیده می‌شوند.

تعداد مقالاتی که در زمینه‌ی سالیتون‌های فضایی بودند، به طور چشمگیری در سال ۱۹۹۰ افزایش پیدا کرد، که البته به صورت تئوری این سالیتون‌ها را مورد بررسی قرار می‌دادند.

## ۱-۲-۱) آزمایش‌های ابتدایی در مورد سالیتون‌های فضایی

اگرچه تاریخچه‌ی سالیتون‌های زمانی در فیبرها بسیار مورد تبلیغ و توجه قرار گرفت و حتی تولد ۲۵ سالگی آن جشن گرفته شد، در حقیقت کشف سالیتون‌های فضایی چه از لحاظ تئوری و چه از لحاظ عملی از نوع زمانی آن‌ها پیشی گرفته است.

این ایده که یک پرتو نوری می‌تواند موجبری را تحت تاثیر قرار داده و مسیر خودش را در داخل آن پیدا کند در ابتدا توسط آسکاریان<sup>۱</sup> در سال ۱۹۶۲ مطرح شد[۱۷]. از نقطه نظر آزمایشگاهی، یکی از اولین مشاهدات (۱۹۶۴) در زمینه‌ی اپتیک غیر خطی که راهگشای ایده‌ی انقلابی سالیتون‌ها نیز به شمار می‌آید، خودهمگرایی پرتوی نوری در اثر غیرخطیت درجه‌ی سه بود.

اولین آزمایش در مورد سالیتون‌های فضایی در سال ۱۹۷۴ توسط آشکین<sup>۲</sup> و همکارش گزارش شد [۱۸]. آنها یک پرتو دایره‌ای متقارن را در یک محیط دو بعدی، بنام سلول پوشانده شده با بخار سدیم، استفاده نمودند و لیزر ورودی خود را در نزدیکی خط معروف زرد سدیم تنظیم نمودند. در شدت پایین پرتو لیزری آنها در سلول گازی واگرا شد، در حالی که در شدت‌های بالا قطر پرتو ثابت ماند

و بدون پراشیده شدن منتشر شد. در واقع این یک تصویر کلاسیک از سالیتون فضایی می‌باشد. اگرچه غیرخطیتی که در این آزمایش اولیه دخیل بود از نوع غیر خطیت کر نبود اما حاصل از غیرخطیت اشباع‌پذیری بود که در نزدیکی تشدیدالکترونیکی سیستمهای دوترازه وجود دارد.

### ۱-۲-۲) مفاهیم پایه

برای درک این مطلب که چرا سالیتون‌های فضایی در محیط‌های خود همگرا ایجاد می‌شوند، در ابتدا نحوه محدود شدن نور در داخل موجبرنوری را در نظر می‌گیریم. پرتوهای نوری زمانی که در یک محیط همگن منتشر می‌شوند، تمایل ذاتی به پهن شدگی دارند (پراش). به هر حال اگر ضربی شکست محیط در مقطع عرضی که توسط پرتو اشغال می‌شود، افزایش یابد می‌توان اثر پراشیده شدن پرتو را از بین برد. چنین ساختاری تبدیل به یک موجبر نوری می‌شود و نور را در ناحیه‌ای با ضربی شکست بالا محدود می‌سازد، مشروط بر اینکه تعادلی میان پراش و شکست نور ایجاد شود.

انتشار نور در داخل یک موجبرنوری با یک معادله موج خطی اما ناهمگن بیان می‌شود که جوابهای آن دسته‌ای از مدهای هدایت شده و بخصوص ویژه مدهای محلی شده‌ی میدان نوری در داخل موجبر که شکل آن‌ها را حفظ می‌کند و کلیه شرایط مرزی را بر آورده می‌سازد، را به دست می‌دهد.

### ۱-۲-۳) پاسخ غیر خطی

معادله اصلی که نحوه انتشار میدان نوری در داخل محیط غیرخطی را بیان می‌کند، معادله شرودینگر غیرخطی (*NLS*) نام دارد. در این بخش ما به طور مختصر چگونگی شکل گیری معادله *NLS* را برای یک پرتو پیوسته (*CW*) در داخل یک محیط غیرخطی که دارای غیر خطیت از نوع کر می‌باشد بیان می‌کنیم. معادلات ماسکسول را می‌توان برای بدست آوردن معادله موج زیر برای میدان الکتریکی که مربوط به انتشار یک موج اپتیکی در چنین محیطی می‌باشد، استفاده نمود:

$$\nabla^2 E - \frac{1}{c^2} \frac{\partial^2 E}{\partial t^2} = \frac{1}{\epsilon_0 c^2} \frac{\partial^2 P}{\partial t^2} \quad (1-1)$$

که در این رابطه  $c$  سرعت نور در خلا و  $\epsilon_0$  گذردهی خلاء می‌باشد. قطبش القا شدهی  $P$  شامل دو قسمت به صورت زیر می‌باشد:

$$P(r,t) = P_L(r,t) + P_{NL}(r,t) \quad (1-2)$$

که قسمت خطی  $P_L$  و قسمت غیر خطی  $P_{NL}$  طبق روابط کلی زیر با میدان الکتریکی رابطه دارند:

$$P_L(r,t) = \epsilon_0 \int_{-\infty}^{\infty} \chi^{(1)}(t-t') E(r,t') dt', \quad (1-3)$$

$$P_{NL}(r,t) = \epsilon_0 \iint_{-\infty}^{\infty} \iint_{-\infty}^{\infty} \chi^{(3)}(t-t_1, t-t_2, t-t_3) \\ \times E(r,t_1) E(r,t_2) E(r,t_3) dt_1 dt_2 dt_3, \quad (1-4)$$

که  $\chi^{(1)}$  و  $\chi^{(3)}$  تansورهای مغناطیس‌پذیری درجه‌ی اول و سوم می‌باشند. این روابط در تقریب دوقطبی الکتریکی تحت شرایطی که پاسخ محیط محلی است امکان پذیر می‌باشند. حتی اثرات غیرخطی درجه‌ی دوم نیز در نظر گرفته نمی‌شوند چرا که فرض بر این است که محیط دارای تقارن می‌باشد. استفاده از معادله‌ی فوق حتی برای پدیده‌هایی با کمترین مرتبه‌ی غیرخطیت بسیار پیچیده می‌باشد. بنابراین برای سادگی اعمال تقریب‌های زیر ضروری است:

- با آنی در نظر گرفتن پاسخ غیر خطی محیط، مقدار قطبش در هر لحظه فقط به مقادیر میدان در همان لحظه مربوط می‌شود: (زیرا با در نظر گرفتن این فرض وابستگی زمانی  $\chi^{(3)}$  با سه عدد تابع دلتا به فرم  $\delta(t-t_1)$  بیان می‌شود و معادله‌ی (۱-۴) به فرم زیر تبدیل می‌شود).

$$P_{NL}(r,t) = \epsilon_0 \chi^{(3)} E(r,t) E(r,t) E(r,t). \quad (1-5)$$

- می‌توان  $P_{NL}$  را به عنوان اختلالی کوچک برای  $P_L$  به شمار آورد، زیرا در عمل تغییرات ناشی از اثرات غیر خطی در ضریب شکست بسیار ناچیز می‌باشد: ( $\Delta n / n \ll 10^{-6}$ )

- با در نظر گرفتن رویکرد اسکالر به منظور درست بودن این فرض که قطبش میدان‌ها در حین عبور نور از محیط حفظ می‌شود.
- تک رنگ فرض نمودن میدان نوری و در نظر گرفتن تقریب تغییرات آهسته برای میدان.

در تقریب تغییرات آهسته برای میدان بهتر است با استفاده از معادله‌ی زیر قسمتی از میدان الکتریکی را که به تن‌دی تغییر می‌کند جداسازی نماییم:

$$E(r,t) = \frac{1}{2} \hat{x} [E(r,t) \exp(-i\omega_0 t) + c.c.] \quad (1-6)$$

که در رابطه‌ی فوق  $\omega_0$  فرکانس حامل،  $\hat{x}$  بردار واحد قطبش و  $E(r,t)$  یکتابع کند تغییر از زمان (وابسته به دوره‌ی نوسانات اپتیکی) می‌باشد. مولفه‌های قطبش  $P_L$  و  $P_{NL}$  را نیز می‌توان به همین صورت بیان نمود.

با اعمال این تقریب‌ها و جاگذاری معادله‌ی (1-6) در معادله‌ی (1-5) در نهایت می‌توان جملات خطی و غیر خطی قطبش را به شکل زیر درآورد:

$$P_L = \epsilon_0 \chi_{xx}^{(1)} E \quad \text{و} \quad P_{NL}(r,t) \approx \epsilon_0 \epsilon_{NL} E(r,t). \quad (1-7)$$

که در آن ثابت دی الکتریک غیر خطی  $\epsilon_{NL}$  به صورت زیر تعریف شده است:

$$\epsilon_{NL} = \frac{3}{4} \chi_{xxxx}^{(3)} |E(r,t)|^2 \quad (1-8)$$

از آنجائیکه هریک از روابط فوق برای تک فرکانس  $\omega_0$  بدست آمده بنا براین ثابت دی الکتریک کل در هر فرکانس برابر خواهد بود با:

$$\epsilon(\omega) = 1 + \chi_{xx}^{(1)}(\omega) + \epsilon_{NL} \quad (1-9)$$

ضریب شکست  $n$  و ضریب جذب  $\alpha$  وابسته به فرکانس را نیز می‌توان با استفاده از ثابت دی الکتریک  $\epsilon(\omega)$  به فرم زیر تعریف کرد:

$$\epsilon = \left( n + \frac{i\alpha c}{2\epsilon_0} \right)^2 \quad (1-10)$$

به دلیل حضور جمله‌ی وابسته به شدت  $n_{NL}$ ، هر دو کمیت  $n$  و  $\alpha$  وابسته به شدت میدان الکتریکی خواهند بود و معمولاً به فرم زیر تعریف می‌شوند:

$$\alpha(\omega) = \alpha_0(\omega) + \alpha_2(\omega)|E|^2 \quad n(\omega) = n_0(\omega) + n_2(\omega)|E|^2 \quad (1-11)$$

ضریب شکست خطی  $n_0$  و ضریب جذب  $\alpha$  به قسمت حقیقی و موهومی  $\tilde{\chi}_{xx}^{(1)}$  وابسته هستند در حالیکه ضریب شکست غیرخطی  $n_2$  (یا ضریب کر) و ضریب جذب دو فوتونی  $\alpha_2$  با استفاده از روابط (1-۹)، (1-۱۰) و (1-۱۱) به صورت زیر تعیین می‌شوند:

$$n_2 = \frac{3}{8n} \operatorname{Re}(\chi_{xxxx}^{(3)}) \quad \alpha_2 = \frac{3\omega_0}{4nc} \operatorname{Im}(\chi_{xxxx}^{(3)}) \quad (1-12)$$

ماده غیرخطی با پذیرفتاری مرتبه‌ی سوم که دارای پاسخ غیرخطی توصیف شده با معادله‌ی (1-۱۱) باشد، ماده‌ی کر نامیده می‌شود. همچنین پدیده‌های غیرخطی مراتب بالاتر را می‌توان به صورت پدیده شناختی با جایگزین کردن  $n = n_0 + n_{NL}(I)$  به جای معادله‌ی (1-۱۱) وارد کرد، بطوریکه  $n_{NL}$  بیانگر جمله‌ی غیرخطی ضریب شکست بوده و به شدت پرتو نوری  $I = |E|^2$  وابسته است.

#### ۴-۲-۱) معادله‌ی غیر خطی شروдинگر

وابستگی به شدت ضریب شکست به طور قابل توجهی انتشار امواج الکترومغناطیسی را تحت تأثیر قرار می‌دهد. در زمینه‌ی سالیتون‌های فضایی ما می‌توانیم تحلیل مساله را با تمرکز روی پرتوهای پیوسته ساده‌تر نماییم. یک جواب عمومی برای معادله‌ی (1-۱) را می‌توان به فرم معادله‌ی (1-۶) نوشت البته با در نظر گرفتن  $E(r,t) = A(r) \exp(i\beta_0 Z)$ ، که در آن  $\lambda = 2\pi n_0 / \beta_0$ ، ثابت انتشار می‌باشد که بر حسب طول موج اپتیکی  $\lambda = 2\pi c / \omega_0$  نوشته شده است. فرض می‌شود که پرتو در راستای محور  $Z$  منتشر و در راستای محورهای عرضی  $X$  و  $Y$  پراشیده (و یا خودهمگرا) می‌شود. تابع  $A(X, Y, Z)$  نحوه‌ی تحول بسته‌ی موج را توصیف می‌نماید و در غیاب اثرات غیرخطی و پراشیده یک مقدار ثابت خواهد بود.

زمانی که اثرات غیرخطی و پراشینده به حساب آیند و بسته‌ی  $A$  با تغییرات  $z$ ، در مقیاسی بسیار طولانی‌تر از طول موج  $\lambda$  (تقریب پیرامحوری) تغییر نماید، آنگاه می‌توان از مشتق دوم  $d^2A/dz^2$  صرف‌نظر نمود و بسته‌ی موج در معادله‌ی سهمی وار غیرخطی زیر صدق خواهد نمود:

$$2i\beta_0 \frac{\partial A}{\partial Z} + \left( \frac{\partial^2 A}{\partial X^2} + \frac{\partial^2 A}{\partial Y^2} \right) + 2\beta_0 k_0 n_{nl}(I)A = 0. \quad (1-13)$$

در غیاب اثرات غیرخطی، این معادله تبدیل به معادله‌ی معروف پیرامحوری که به طور وسیع در زمینه‌ی نظریه‌ی پراش اسکالر مورد مطالعه قرار گرفته است، می‌شود.

ما بر روی غیرخطیت کر (یا مکعبی) مرکز می‌شویم و از  $n_{nl}(I) = n_2 I$  استفاده می‌نماییم که ثابت کر ماده‌ی غیرخطی می‌باشد. معرفی متغیرهای بدون بعد مقیاس بندی شده‌ی زیر برای ادامه‌ی کار مفید خواهد بود:

$$x = X/w_0, \quad y = Y/w_0, \quad z = Z/L_d, \quad u = (k_0 |n_2| L_d)^{1/2} A, \quad (1-14)$$

که  $w_0$  پارامتر مقیاس عرضی وابسته به پهنه‌ی پرتو ورودی و  $\beta_0 w_0^2 = \beta_0 L_d$  طول پراش (که محدوده‌ی رایلی نیز نامیده می‌شود) می‌باشد. بر حسب این متغیرهای بدون بعد معادله‌ی (1-13) تبدیل به فرم استاندارد (۲+۱) بعدی معادله‌ی غیرخطی شرودینگر می‌شود.

$$i \frac{\partial u}{\partial z} + \frac{1}{2} \left( \frac{\partial^2 u}{\partial x^2} + \frac{\partial^2 u}{\partial y^2} \right) \pm |u|^2 u = 0, \quad (1-15)$$

که انتخاب علامت در جمله سوم به علامت پارامتر غیرخطی  $n_2$  بستگی دارد، علامت منفی در حالت خود واگرایی ( $n_2 < 0$ ) استفاده می‌شود. این معادله‌ی NLS به عنوان معادله‌ی (۲+۱) بعدی شناخته می‌شود که ۲ بیانگر ابعاد عرضی در معادله‌ی NLS، و ۱+ بیانگر جهت انتشار  $z$  می‌باشد [۶۳].

حالت ابعادی معادله‌ی غیرخطی شرودینگر بسته به طبیعتی که محیط غیرخطی دارد، می‌تواند تغییر نماید. برای مثال، زمانی که یک محیط غیرخطی در شکل یک موجبر تخت می‌باشد، میدان اپتیکی تنها در یک بعد عرضی محدود می‌شود. در غیاب اثرات غیرخطی، پرتو تنها در جهت  $x$  پهن خواهد

شد. در چنین حالتی پاسخ معادله‌ی (۱-۱) را می‌توان به شکل معادله‌ی (۱-۶) نوشت، البته با در نظر گرفتن:

$$E(r,t) = A(X, Z)B(Y) \exp(i\beta_0 z), \quad (1-16)$$

که در این رابطه  $B(Y)$  دامنه‌ی مد موجبر را توصیف می‌نماید و  $\beta_0$  ثابت انتشار می‌باشد. بر طبق روشی که قبلاً بکار بردیم، دوباره به معادله‌ی بهنجار شده‌ی NLS به فرم معادله‌ی (۱-۱۵) می‌رسیم، البته بدون مشتق مرتبه‌ی دوم  $y$ :

$$i \frac{\partial u}{\partial z} + \frac{1}{2} \frac{\partial^2 u}{\partial x^2} \pm |u|^2 u = 0. \quad (1-17)$$

این معادله بیانگر معادله‌ی غیرخطی شرودینگر (۱+۱) بعدی می‌باشد. و در واقع ساده‌ترین شکل معادله‌ی غیرخطی شرودینگر می‌باشد.